

doi: 10.7690/bgzdh.2016.07.017

# μC/OS-III在STM32F103RC上的移植

唐小平

(绵阳市维博电子有限责任公司传感器技术部, 四川 绵阳 621000)

**摘要:** 针对在 STM32F103RC 处理器组建的系统上移植 μC/OS-III 时需要一定移植条件的问题, 介绍一种移植 μC/OS-III 的方法, Cortex-M3 内核处理器为 μC/OS-III 移植带来的便利性以及 μC/OS-III 移植工作中涉及到的 3 方面内容, 重点说明 μC/CPU 移植文件编写与修改的细节, 并详述基于 STM32F103RC 产品平台下的 μC/OS-III 成功移植案例。实践结果表明: 该方法具有可操作性, 能够实现 μC/OS-III 在 STM32F103RC 上的移植。

**关键词:** μC/OS-III; 实时操作系统; 任务调度; 任务堆栈; STM32F103RC; Cortex-M3

中图分类号: TP311.54 文献标志码: A

## Transplantation of μC/OS-III on STM32F103RC

Tang Xiaoping

(Department of Sensor Technology, Mianyang Weibo Electronics Co., Ltd., Mianyang 621000, China)

**Abstract:** Aiming at the problem that certain conditions are needed when transplants μC/OS-III on STM32F103RC, this paper introduces a method of transplanting C/OS- III. This paper introduces the method for transplanting μC/OS-III. The paper introduces convenience which bring by Cortex-M3 kernel and three aspects of content about μC/OS-III transplantation, focuses on introducing the details of file edition and revision of the μC/OS-III transplantation, and described the successful transplantation of μC/OS-III on STM32F103RC. The results show that this method has the maneuverability, and it can achieve the transplantation of μC/OS-III on STM32F103RC

**Keywords:** μC/OS-III; real-time operating system (RTOS); task schedule; task stack; STM32F103RC; Cortex-M3

## 0 引言

在单片机嵌入式领域使用实时操作系统 RTOS, 是现在系统设计的需要。μC/OS-III 是源代码公开的商用嵌入式实时操作系统内核, 由著名的 μC/OS-II 发展而来。μC/OS-III 针对以 ARM Cortex 为代表的新一代 CPU, 面向带有可用于优先级查表的硬件指令的 32 位 CPU 嵌入式应用。μC/OS-III 允许利用这类高端 CPU 的特殊硬件指令来实现高效的任务调度算法, 而无需使用 μC/OS-II 的软件任务调度算法, 且 μC/OS-III 支持时间片轮转调度算法。从核心任务调度算法的改变来看, μC/OS-III 已经是一个全新的嵌入式 RTOS 内核。工业调查一致显示操作系统 μC/OS-III 是嵌入式领域中的最为流行的操作系统之一, 为数以百万计的嵌入式系统开发者提供有效的解决方案。

## 1 移植条件

### 1.1 处理器要求

- 1) 处理器有可用的 ANSI C 编译器, 能生成可重入代码。
- 2) 处理器支持中断, 并且可以产生定时中断。
- 3) 处理器可以开关中断。

4) 处理器支持能够容纳足够多的数据(数千字节)的硬件堆栈。

5) 处理器有将堆栈指针和其他 CPU 寄存器读出并存储到堆栈或内存中的指令。

6) 处理器有足够的 RAM 空间用来存储 μC/OS-III 的变量、数据结构体和内部任务堆栈。

### 1.2 编译器要求

- 1) 编译器必须包括汇编器、C 编译器和链接/定位器。
- 2) 编译器应支持 32 位数据类型。对一些高速 32 位处理器, 编译器还应支持 64 位数据类型。

根据上述要求, 笔者选用 STM32F103RC 为处理器, 选用 MDK460 为编译器。

## 2 STM32F103RC 处理器简介<sup>[1]</sup>

STM32F103RC 单片机基于专为要求高性能、低成本、低功耗的嵌入式应用专门设计的 ARM Cortex-M3 内核, CPU 时钟频率 72 MHz, 1.25DMips/MHz, 2×12 位 ADC, 256 k Falsh, 48 K RAM, 12 个独立的可配置的 DMA 通道。

## 3 Cortex-M3 内核为移植带来便利性<sup>[2]</sup>

Cortex-M3 内核的一个关键部件是嵌套向量中断控制器 (NVIC), 为控制器提供一个标准的中断架

收稿日期: 2016-03-25; 修回日期: 2016-05-03

作者简介: 唐小平(1976—), 男, 四川人, 学士, 从事智能电量隔离传感器的设计与开发。

构和异常中断处理，NVIC 自动保存了半数以上的 CPU 寄存器，当中断退出时，又恢复它们，使中断处理更加有效率。

Cortex-M3 内核的控制器支持 2 种操作模式：线程模式 (Thread Mode) 和 处理模式 (Handle Mode)，2 种方式都可以配置自己的堆栈(进程堆栈与主堆栈)，任务执行在线程模式时使用进程堆栈，中断执行在处理模式时使用主堆栈。当一个异常发生的时候，任务的上下文自动保护到进程堆栈里面，于是，处理器进入处理器模式，把主堆栈激活，从异常返回，任务上下文恢复，重新回到线程模式。

NVIC 的一个异常是 PendSV(可悬起的系统调用)。PendSV 的典型使用场合是在上下文切换时(在不同任务之间切换)。PendSV 异常会自动延迟上下文切换的请求，直到其他的 ISR 都完成了处理后才放行。为实现这个机制，需要把 PendSV 编程为最低优先级的异常<sup>[3]</sup>。

Cortex-M3 内核的控制器包括一个 24 位的向下计数器，具备自动加载和完成后中断的功能，称为 SysTick。SysTick 的设计是作为 RTOS 的系统时钟节拍中断。

μC/OS-III 使用 PendSV 向量完成上下文切换，使用 SysTick 向量完成系统时钟节拍中断。

这些特性给实时内核 μC/OS-III 提供了更大的便利性。

## 4 移植涉及的工作<sup>[4]</sup>

移植工作涉及 3 方面的内容：CPU、操作系统和板极代码。板极代码也就是板极支持包 (BSP)，对于 μC/OS-III 来说，很少用到。

移植包括 μC/OS-III 移植和 μC/CPU 移植文件。

### 4.1 μC/OS-III 移植文件

移植需要编写 3 个文件：os\_cpu.h、os\_cpu\_c.c、os\_cpu\_a.asm。

#### 4.1.1 os\_cpu.h

os\_cpu.h 包含处理器和应用相关的常量、宏及类型定义，μC/OS-III 函数原型声明。

```
#define NVIC_INT_CTR    *((CPU_REG32 *)0xE00ED04)
```

宏定义中断控制与状态寄存器

```
#define NVIC_PENDSVSET 0x10000000
#define OS_TASK_SW()      NVIC_INT_CTRL = NVIC_PENDSVSET
#define OSIntCtxSw()     NVIC_INT_CTRL = NVIC_
```

### PENDSVSET

在 Cortex-M3 中，任务级的上下文切换和中断级的上下文切换都通过 PendSV 异常来实现。

#### 4.1.2 os\_cpu\_c.c

μC/OS-III 移植需要定义以下函数：

```
OSIdleTaskHook()
OSInitHook()
OSStatTaskHook()
OSTaskCreateHook()
OSTaskDelHook()
OSTaskReturnHook()
OSTaskStkInit()
OSTaskSwHook()
OSTimeTickHook()
OS_CPU_SysTickHandler()
OS_CPU_SysTickInit()
```

其中，重点关注这 3 个函数的编写

```
OSTaskStkInit()
OS_CPU_SysTickHandler()
OS_CPU_SysTickInit()
```

后 2 个函数一个是系统时钟中断与系统时钟初始化。下面重点介绍 OSTaskStkInit() 函数。

#### 4.1.3 OSTaskStkInit()

该函数初始化正在创建任务的堆栈帧。当 μC/OS-III 创建一个任务时，使任务的堆栈看起来好像刚发生中断，模拟中断将任务现场保存到任务堆栈中。OSTaskStkInit() 函数返回前的堆栈框架结构如图 1 所示。创建任务时 OSTaskCreate() 函数会将新的栈顶(p\_stk)保存到创建任务的任务控制块 OS\_TCB 中。

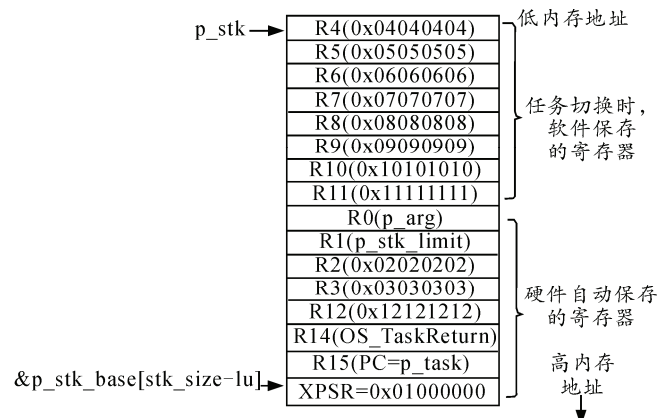


图 1 OSTaskStkInit() 函数创建的堆栈框架

#### 4.1.4 os\_cpu\_a.asm

OS\_CPU\_A.ASM 包含特定处理器相关的 4 个函数代码，以汇编语言实现：OSStartHighRdy()、

OS\_TASK\_SW() 和 OSIntCtxSw()， OS\_CPU\_PendSVHandler()。注意这 4 个汇编函数的改写。

OSStart() 函数会调用本函数来开始多任务管理。在调用之前，OSStart() 函数会首先找出先前已经创建的任务中优先级最高的就绪态任务 (OSTCBHighRdyPtr 会指向该任务的任务控制块 OS\_TCB)。图 2 是指针 OSTCBHighRdy->StkPtr 指向的堆栈结构。

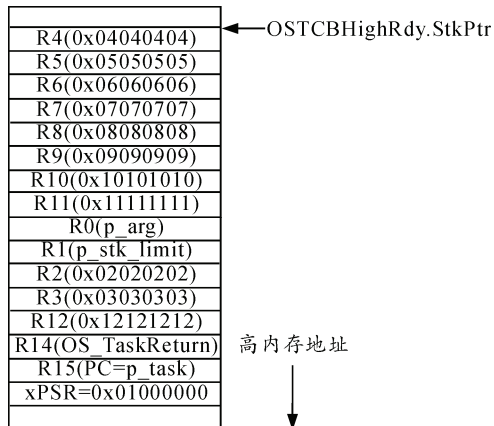


图 2 指针 OSTCBHighRdy->StkPtr 指向的栈结构

OS\_TASK\_SW() 被 OSSched() 调用， OSSched() 执行任务级的上下文切换。OSIntCtxSw() 被 OSIntExit() 调用，在中断服务 ISR 完成后，执行上下文切换。这些函数只是触发 PendSV 中断处理程序，并不执行真正的上下文切换。

OS\_CPU\_PendSVHandler() 用于在任务中，或者在完成中断服务 ISR 后，执行上下文切换。OS\_CPU\_PendSVHandler() 被 OSStartHighRdy()、OS\_TASK\_SW() 和 OSIntCtxSw() 调用。

## 4.2 μC/CPU 移植文件<sup>[5]</sup>

μC/CPU 包含 CPU 相关的功能封装文件以及编译器相关的数据类型定义。

移植需要修改的文件：cpu\_cfg.h、cpu.h、cpu\_a.asm。

### 4.2.1 cpu\_cfg.h

cpu\_cfg.h 包含一个实际项目的 μC/CPU 配置模板。cpu\_cfg.h 决定是否使能中断禁止时间测量，CPU 是否支持用汇编语言实现前导零计数指令或者用 C 模拟。

### 4.2.2 cpu.h

cpu.h 包含处理器和应用相关的常量、宏定义及类型声明。μC/OS-III 不使用标准的 C 数据类型，而是声明更直观的数据类型以便于移植。cpu.h 还包

含一些函数原型声明。

### 4.2.3 cpu\_a.asm

cpu\_a.asm 包含了一些是用汇编语言编写的函数，可用来开中断和关中断、计算前导零，以及其他一些只能用汇编语言编写与 CPU 相关的函数。

μC/OS-III 特别重要的 3 个函数：CPU\_SR\_Save()，CPU\_SR\_Restore()，CPU\_CntLeadZeros()。

## 5 μC/OS-III 移植后的应用实例<sup>[6]</sup>

实例：用 STM32F103RC 内部 12 位 AD 实现 1 路直流电压与 1 路直流电流的采样与计算 (ADC1 实现电压采样，ADC2 实现电流采样)，并用 LED 灯以 0.5 s 时间间隔闪烁指示 CPU 正常工作状态，通过 RS485 通信口实现参数传递。系统中断与系统任务划分情况见表 1、表 2。

表 1 系统中断

中断	功能描述
Timer2	用于启动 AD DMA 操作，AD 的采样频率 3.2 kHz
DMA1	ADC1，ADC2 数据读取，发送数据采样完成标志
SysTick	μC/OS-III 系统时钟节拍中断
PendSV	在这个中断里实现系统任务切换
USART1	实现 RS485 通讯数据的接收与发送

表 2 系统任务

任务序号	功能描述
1	LED 灯闪烁指示任务
2	等待采样数据完成标志，完成参数计算分析
3	实现通讯任务处理

## 6 系统任务函数示例

```

static OS_TCB Task1TCB,Task2TCB, Task3TCB;
static
CPU_STK Task1Stk[128],Task2Stk[128],Task3Stk[12
8];
static void Task1(void* p_arg);
static void Task2(void* p_arg);
static void Task3(void* p_arg);
int main(void)
{
    OS_ERR err;
    STM32Init();
    OSInit(&err);
    OSFlagCreate((OS_FLAG_GRP *)&myflag,
                 (CPU_CHAR *)"myflag_1",
                 (OS_FLAGS )0,
                 (OS_ERR *)&err);
    OSTaskCreate((OS_TCB *)Task1TCB,
                (CPU_CHAR *)"Task1 Start",
                (OS_TASK_PTR )Task1,
                (void *)0,
                (OS_PRIO )5,
                (CPU_STK *)&Task1Stk[0],

```

```

(CPU_STK_SIZE)12,
(CPU_STK_SIZE)128,
(OS_MSG_QTY )0,
(OS_TICK )0,
(void *)0,
(OS_OPT)(OS_OPT_TASK_STK_CHK|
OS_OPT_TASK_STK_CLR),
(OS_ERR      *)&err);
.....
    OSStart(&err); }
static void Task1(void *p_arg)
{OS_ERR err;
while(1)
{  OSFlagPend((OS_FLAG_GRP*)&myflag,
(OS_FLAGS ) 0x04,
(OS_TICK ) 0,
(OS_OPT) OS_OPT_PEND_FLAG_SET_ANY +
OS_OPT_PEND_FLAG_CONSUME+
OS_OPT_PEND_BLOCKING,
(CPU_TS *)&ts,
(OS_ERR *)&err);
ComputeParam();
}}
*****
```

(上接第 56 页)



图 4 校正前的鱼眼图像



图 5 校正后的鱼眼图像

从校正效果图可看出: 未校正前, 左边的盒子边缘已经严重变形(图 4 左下侧), 校正后的盒子边

## 7 结论

得益于 μC/OS-III 在设计时对可移植性的充分考虑, 按照前面介绍的方法, μC/OS-III 的移植相对来说是比较容易的。笔者在基于 STM32F103RC 的产品平台下, 成功实现了 μC/OS-III 在 STM32F103RC 上的移植。实践结果表明: 该方法具有可操作性, 能够实现 μC/OS-III 在 STM32F103RC 上的移植。

## 参考文献:

- [1] ST 公司. STM32F10xxx 用户守则[S]. 瑞士: ST 公司, 2010: 1-21.
- [2] Joseph Yiu. Cortex-M3 权威指南[M]. 宋岩, 译. 北京: 北京航空航天大学出版社, 2009: 83-107.
- [3] 张乾, 梁森, 韦利明. 嵌入式共固化耐高温阻尼复合材料结构的模态分析试验研究[J]. 四川兵工学报, 2015, 36(2): 76-79.
- [3] Labrosse Jean J. 嵌入式实时操作系统[M]. 北京: 北京航空航天大学出版社, 2012: 14-316.
- [5] Labrosse Jean J. 嵌入式实时操作系统 μC/OS-III 应用开发[M]. 北京: 北京航空航天大学出版社, 2012: 7-136.
- [6] ST 公司. STM32F10xx 数据手册[S]. ST 公司, 2012: 1-89.

缘则恢复正常(图 5 左下侧), 校正效果显著。通过对比专用的畸变测试图, 测得校正后的鱼眼图像的相对畸变不大于 5%, 能满足一般观测应用要求。

## 6 结束语

笔者所设计的鱼眼校正方法, 能进行全视场的校正, 校正效果能满足要求, 实时性强。鱼眼镜头一般接近或等于 180°, 甚至 230°<sup>[5]</sup>, 同时还有 4 种类型。文中虽然只针对 180° 的等距投影鱼眼做出校正实例, 但实际上只要知道镜头参数或测量了相关畸变数据, 所有的鱼眼镜头所拍摄的视频图像都可采用文中所用的 Chebyshev 插值方法得到其多项式校正函数, 然后采用 FPGA 或其他器件进行校正。

## 参考文献:

- [1] 王永仲. 现代军用光学技术[M]. 北京: 科学出版社, 2003: 387.
- [2] 陈晃明, 陈向颖. 鱼眼镜头光学设计[J]. 北京理工大学学报, 1989, 9(3): 35-42.
- [3] Uwe Meyer-Baese. 数字信号处理的 FPGA 实现[M]. 刘凌, 胡永生, 译. 北京: 清华大学出版社, 2003: 56.
- [4] 丁学恭, 吴晓苏. 切比雪夫插值用于等幅电流矢量微步距控制[J]. 电气传动, 2007, 37(6): 45-47.
- [5] 席志红, 孙丽华, 孙昭光. 基于鱼眼镜头的全视觉图像 [J]. 应用科技, 2007, 34(12): 8-11.